

KEDİDE MİDENİN FARKLI DOLULUK DERECELERİNİN İNSTİNÜM TENUE'NİN TOPOGRAFİSİNE ETKİLERİ*

Memduh Gezici 1

The Effects of the Varying Filling Degrees of the Stomach on the Topographies of the Small Intestine in Cat

Summary: The purpose of this study was determined the effect of the varying degrees of fullness of the stomach on the topographies of the small intestine in cat; with this aim twenty-four adult cats of different sex and age were used as a material, cats were divided into 3 groups, of which, group 1 had empty, group 2 had half filled and group 3 had maximum filled stomach, the small intestine were dissected and abdominal cavity was cross sectioned longitudinally and transversally. This investigation is different from that of Deniz and Klesty in that the longitudinal and transversal cross sections of the abdominal cavity were done after the materials were deep freezed; the topographies of the small intestine and their relations with the other organs were determined; following dissection the photographs of the mentioned organs were taken; it was detected that the duodenum and jejunum shifted approximately in three lumbar vertebrae length, ileum in two lumbar vertebrae length caudally according to the fullness degrees of the stomach in the cat. Furthermore, jejunum was observed to be shifted backward, upward and rightward in the abdominal cavity.

Key words: Small intestine, topography, cat, anatomy

Özet: Sunulan çalışmanın amacı midenin doluluk derecelerinin intestinum tenuue'nin topografilerine olan etkilerini incelemektir. Bu amaçla 24 adet çeşitli cins ve yaşta ergin kedinin kullanıldığı bu çalışmada kediler; midesi boş, orta derecede ve maximal dolu olarak üç grupta incelenmek üzere diseksiyona ve kesitlere tabi tutuldu. Deniz ve Klesty'nin yaptığı çalışmadan farklı olarak piyesler derin dondurucuda donduruluktan sonra cavum abdominis'in longitudinal ve transversal kesitleri alındı. İnce barsakların topografileri ve komşulukları belirlendi, diseksiyonlar yapılarak piyeslerin fotoğrafları alındı. Midenin doluluk derecelerine göre duodenum ve jejunum'un üç bel omuru boyu, ileum'un ise iki bel omuru boyu caudal'e yer değiştirdiği belirlendi. Ayrıca jejunum'un, cavum abdominis'de sağa, caudal'e, dorsal'e doğru ilerlediği gözlandı.

Anahtar kelimeler: İnce barsak, topografi, kedi, anatomi

Giriş

Günümüzde pet olarak adlandırılan kediköpek besleme alışkanlığı ülkemizde de yaygınlaşmaktadır. Söz konusu hayvanların değer ve populasyonunun artması, ayrıca deney hayvani olarak kullanılması (Bohensky, 1979; Donnersberger ve Lesak, 1998) kediye yönelik çalışmalar için başlıca sebep teşkil etmektedir. Beşeri tebabette olduğu gibi veteriner hekimliğimizde de karın organlarıyla ilgili hastalıkların teşhis ve tedavisinde, laboratuvar ve radyoloji bulgularına olan ihtiyaç giderek artmaktadır. Veteriner hekimin ultrasonografi, radyografi ve bilgisayarlı tomografi (skanografi) bulgularından yararlanabilmesi için, adı geçen organların topografik anatomi bilgilerinin (Güzel ve Yavru, 1997) yanında, özellikle bil-

gisayarlı tomografide, karın boşluğunun trasversal kesitlerine ilişkin bilgilere kesinlikle gereksinim duyulmaktadır (Fike ve ark., 1980; Hillen, 1984; Feeney ve ark., 1991; Breiling, 1994).

Yurt dışından temin edilen literatürde, kedinin karın organları üzerine yapılan birçok çalışmaya (Wilkens, 1951; Crouch, 1969; Field ve Taylor, 1969; Mc Clure ve ark, 1973; Schbitz ve Wilkens 1977; Bohensky, 1979; Nickel ve ark, 1979; Chiasson, 1982; Popesco, 1986; Boyd, 1991; Smallwood, 1993; Breiling, 1994; Chiasson ve Radke, 1996; Done ve ark, 1996; Donnersberger ve Lesak, 1998) rağmen midenin çeşitli doluluk derecesinin ince barsakların topografisine etkisini sadece Deniz (1966) ve Klesty (1984) gerçekleştirmiştir.

Pylorus'dan başlangıç alan duodenum, craniolateral bir ilerleme ile 9. intercostal aralık dü-

zeyinde (Klesty, 1984) karnın sağ duvarına ulaşarak pars cranialis'i şekillendirir (Smallwood, 1993). Duodenum, 9. intercostal aralık yüksekliği düzeyinde (Klesty, 1994) yada 12. sırt omurunun caudal kısmı hizasında (Breiling, 1994) flexura duodenı cranialis'i yaparak caudal'e yönelir (Crouch, 1969; McClure ve ark, 1979; Klesty, 1994). Karnın sağ duvarına temas ederek (Deniz, 1966) jejunum'un dorsal'inde, sağ böbreğin ventral'inde (Nickel ve ark, 1979; Popesko, 1986; Done ve ark, 1996); 5. (Klesty, 1984; Smallwood, 1993) ve 6. (Klesty, 1984) bel omuru düzeyine kadar pars descendens adını alır ve vücutun uzun eksenine paralel bir şekilde pelvise doğru yükseler (Klesty, 1984; Vollmerhaus ve Habermehl, 1994; Done ve ark, 1996) ilerler. Beşinci yada altıncı bel omuru düzeyinde cranial'e kıvrılarak flexura duodenı caudalis'i (Schebitz ve Wilkens 1977; Klesty, 1984) yapan duodenum, cranial olarak ilerler ve pars ascendens adını alır (McClure ve ark, 1973; Schebitz ve Wilkens, 1977; Klesty, 1984; Smallwood, 1993). Jejunum ile sınırını belirleyen flexura duodenı jejunalis'i yaparak jejunum'a geçer (McClure ve ark, 1973; Schebitz ve Wilkens, 1977; Klesty, 1984, Smallwood, 1993).

İnce barsakların en uzun ve en haraketli bölümü olan (Smallwood, 1993) ve duodenum ile colon'un ventral'inde yer alan (Klesty, 1984; Vollmerhaus ve Habermehl, 1994) jejunum; ventral karın duvarından omentum ile ayrılır (Deniz, 1966; Breiling, 1994).

İnce barsakların son ve en kısa bölümü olan ileum (Smallwood, 1993); 4. yada 5. bel omurları hizasında, median hattın sağında yer alır (Deniz, 1966).

Duodenum, yer ve şekef olarak midenin farklı doluluk derecelerinden etkilenmektedir (Deniz, 1966; Klesty, 1984). Mide boş iken duodenum; 8. (Deniz, 1966) ya da 10. (Klesty, 1984) intercostal aralıktı başlar ve flexura duodenı caudalis 5. bel omuru hizasında bulunur (Deniz, 1966). Midenin orta derece dolu durumunda, duodenum'un başlangıcı 10. (Deniz, 1966) ya da 11. (Klesty, 1984) intercostal aralıktı, flexura duodenı caudalis ise 4. (Klesty, 1984) ya da 6. (Deniz, 1966) bel omuru hizasında bulunur. Midenin maximal dolu olduğu konumda duodenum'un başlangıcı 10. (Deniz, 1966) ya da 11. (Klesty, 1984) intercostal aralığı itilir ve pars cranialis'in şekli bozularak adeta pars descendens'e karışmış gibi görünür (Deniz, 1966; Klesty, 1984). Deniz (1966) midenin bu fazında flexura duodenı caudalis'in midenin caudal sınırı ile aynı hizada ve 6. bel omuru düzeyinde olduğunu

bildirmiştir.

Midenin artan hacmi jejunum'u tedrici olarak caudal'e itmektedir (Deniz, 1966). Jejunum mide boş iken 4., mide dolu iken 6. vertebra lumbalis'ten geçen transversal düzlemle pelvis giridi arasında bulunmaktadır (Deniz, 1966). Orta derecede dolu midenin jejunum'a bir tesiri olmadığı (Deniz, 1966) ya da karın boşluğunun sağ yarımasına baskındığı, duodenum, cecum ve colon ascendens'in ventral'inde bulunduğu (Klesty, 1984) bildirilmektedir. Jejunum'un dorsal karın duvarı ile teması yalnız mide dolu iken gerçekleşmektedir (Deniz, 1966; Klesty, 1984). Midenin maximal dolu olması jejunum'u karın boşluğunun sağ yarımasına (Klesty, 1984; Breiling, 1994) ve dorsal'e (Deniz, 1966; Breiling, 1994) yer değiştirir. Maximal dolu mide halinde jejunum'un caudal sınırı 5. vertebra lumbalis'e kadar gerilemiştir (Deniz, 1966).

Midenin doluluk derecelerinin ileum'un topografisi üzerine etkisi yoktur (Deniz, 1966).

Materyal ve Metot

Bu çalışmada Konya ve çevresinden termin edilen, ağırlıkları 1.5-3.5 kg. arasında değişen 24 adet çeşitli ırk, yaş ve cinsiyette ergin kediler kullanıldı. Midenin doluluk derecelerinin intestinum tenué'nin topografisine yaptıkları etkileri belirlemek amacıyla, materyaller 3 gruba ayrılarak incelendi.

1. Midesi boş kediler: Midenin tamamen boşalması için, kediler 36 saat aç-susuz kaldı.
2. Midesi orta derecede dolu kediler: Bu amaçla iyice öyyürülen hayvanlar dana sonra 6-8 saat aç ve susuz bırakıldılar.
3. Midesi maximal dolu kediler: Bu amaçla 36 saat aç ve susuz bırakılan hayvanlar yiyebildikleri kadar yedirildiler.

Gruplara ayrılan hayvanlar birbirinden tecrit edilmiş 6 adet ayrı kafeste muhafaza edildi. Hayvanlara yiyecek olarak, bıçaklı kıymış sığır kalbi ve akciğer verildi. Bu şekilde gruplanan hayvanların 6 adetinin (2'ser adet midesi boş, orta derecede dolu, maximal dolu) longitudinal kesiti, 6 adetinin de (2'ser adet midesi boş, orta derecede dolu, maximal dolu) transversal kesitleri yapıldı. Geriye kalan 12 kedi (4'er adet midesi boş, orta derecede dolu, maximal dolu) ise makroskopik olarak incelenmek üzere disseke edildi. Literatür (Breiling, 1994) bilgilerin işliğinde ve gerçekleştirilen dissekşyonların sonucunda; kesitleri yapılacak olan piyesler derin

dondurucuda (-20 C'de) dondurularak, vertebra lumbalis III-IV arası ile vertebra lumbalis VII düzeyinde transversal (± 0.5 cm.) kesitlerinin alınmasının uygun olduğu sonucuna varıldı. Organların komşuluklarının belirlenmesinin yanısıra cranial-caudal sınırlarının tespit edilmesi amacıyla, planum medianum düzeyinde longitudinal (± 0.5 cm.) kesitler alınmaya çalışıldı. Materyallerin geri kalan bölümü ise, adı geçen organların cavum abdominis'deki topografisinin incelenmesi için karın boşluğu açıldı. Bu amaçla arcus costarum'a paralel olarak sağlı sollu iki ensizyon yapıldı. Daha sonra bu ensizyon'a dik olarak cartilago xiphoida'dan os pubis düzeyine kadar median bir ensizyon yaparak karın duvarı yanlara ekarte edildi.

Kediler öldürülmeden önce dissosiyatif anestezî ile uyutuldu. Hayvan anestezide iken, v. jugularis'ten liquemin enjeksiyonu yapıldı. Bu işlemden 5 dakika sonra a. carotis communis açığa çıkarılarak kan boşaltıldı ve damarlar %10'luk tuzlu su ile yıkandı. Hayvan ayakta durur (quadripedie) pozisyonunda %10'luk formaldehit solusyonu enjekte edilerek tespit edildi.

Terminoloji olarak Nomina Anatomica Veterinaria (NAV) (1994) esas alındı.

Bulgular

Duodenum:

Duodenum'un ampulla duodeni adıyla pylorus'dan başladığı, hepar'in facies visceralis'inde pars cranialis adıyla (Şekil 10) cranial yönde ilerlediği ve porta hepatis'e yakın bölgede flexura duodeni cranialis'i yaptığı görüldü (Şekil 6). Daha sonra pars descendens adıyla omentumla örtülmemiş durumda ve karnın sağ duvarına paralel olarak, midenin doluluk derecelerine göre, apex ceci'nin farklı hizasına kadar geldiği tespit edildi (Şekil 1,4,5,6,7,8,9). Burada flexura duodeni caudalis'i (Şekil 6) yaktıktan sonra vücutun uzun eksemene dik seyrederek pars transversa'yı (Şekil 8) şekillendirdiği belirlendi. Bu bölümün sonunda, sağa geçen bölümün biraz daha cranial'e ve dorsal'e yönelik pars ascendens adını aldığı, bunun da pars descendens'in yaklaşık yarısı uzunluğunda olduğu ve flexura duodenojejunalis'i şekillendirerek jejunum'a katıldığı görüldü. Pars ascendens'in, plica duodenocolica vasitasiyla colon descendens'e bağlandığı tespit edildi.

Midesi boş kedide (Şekil 1,4,7); pars descendens'in cranial sınırının VIII. intercostal aralık

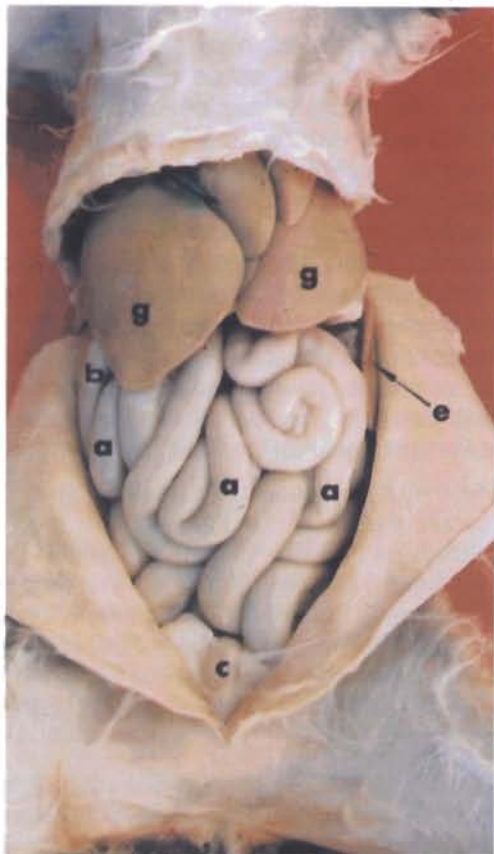
düzeyinde bulunduğu, cranial'de lobus hepatis sinister lateralis'in medial kenarı ve lobus hepatis dexter medialis'in facies visceralis'i ile komşu olduğu tespit edildi. Pars descendens'in caudal nihayetinin, apex ceci'yi yaklaşık 1-1.5 cm. geçtiği ve vertebra lumbalis V düzeyinde flexura duodeni caudalis'i yaptığı görüldü. Bu bölümün dorsal'de cranial olarak ren dexter'e, caudal olarak ovarium dexter'e, ventromedial'de; jejunum, cecum ve colon ascendens'e, medial'de; lobus pancreatis dexter'e komşu olduğu, lateral'de ise karın duvarına temas ettiği belirlendi. Pars transversa'nın, dorsal'de cornu uteri dexter (dişide), m. psoas major ve m. psoas minor'a, ventral'de jejunum'a, pars ascendens'in ise, dorsal'de colon descendens'e, ventral'de jejunum'a komşuluk yaptığı tespit edildi.

Midesi orta derecede dolu kedide (Şekil 5,8); pars descendens'in cranial sınırının X. intercostal aralık düzeyinde olduğu, caudal nihayetinin apex ceci'yi yaklaşık 0.5-1 cm. geçtiği ve vertebra lumbalis VI düzeyinde flexura duodeni caudalis'i yaptığı görüldü. Komşulukları aç kedininkine benzerlik göstermekle birlikte pars ascendens'in dorsal'e yönelik m. psoas major et minor'a yaklaştığı gözlemlendi.

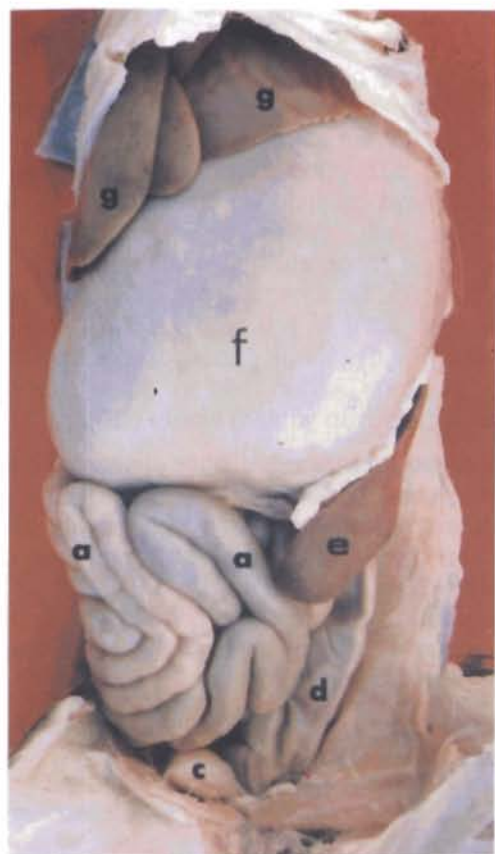
Midesi maximal dolu kedide (Şekil 2,6,9); pars descendens'in cranial sınırının XI. intercostal aralık düzeyinde bulunduğu, cranial'de lobus hepatis dexter medialis'in lateral kenarı ile lobus hepatis dexter lateralis'in facies visceralis'i ile komşuluk yaptığı, lateral ve dorsal yönde yer değiştirdiği tespit edildi. Hatta ren dexter'in adı geçen bölümün cranial yarısının dorsal'inde iz meydana getirdiği gözlemlendi. Pars descendens'in caudal nihayetinin, vertebra lumbalis VI-VII düzeyinde flexura duodeni caudalis'i yaptığı görüldü. Bu bölümün dorsal'de cranial'den caudal'e doğru lobus hepatis dexter lateralis, proc. caudatus, ren dexter ve ovarium dexter'e, medial'de lobus pancreatis dexter'e, ventral'de cranial olarak jejunum'a, caudal olarak da cecum'a komşuluk yaptığı belirlendi. Pars descendens'in cranial 1/3'ünün pylorus'a çok fazla yaklaşmasından dolayı pars cranialis'in kaybolduğu görüldü. Pars transversa'nın, dorsal'de cornu uteri ile m. psoas major ve m. psoas minor'a, ventral'de ileum ve apex ceci'ye komşuluk yaptığı belirlendi. Pars ascendens'in koşuluklarının midesi orta derece dolu kedininkine benzerlik gösterdiği gözlemlendi.

Jejunum:

Jejunum'un ince barsakların en uzun bölümünü teşkil ettiği, karın boşluğunu açtığımızda omentum majus'un hemen altında yer aldığı tespit edildi (Şekil 4).

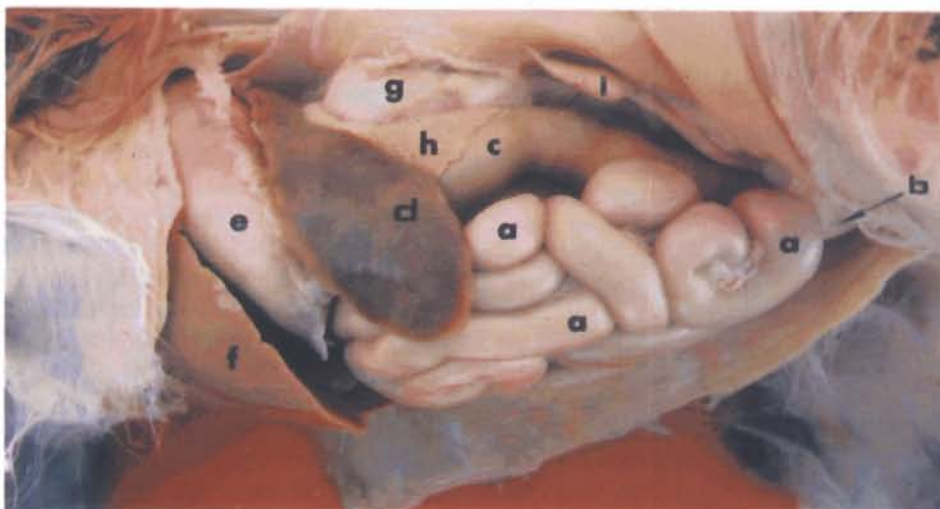


Şekil 1. Midesi boş kedi



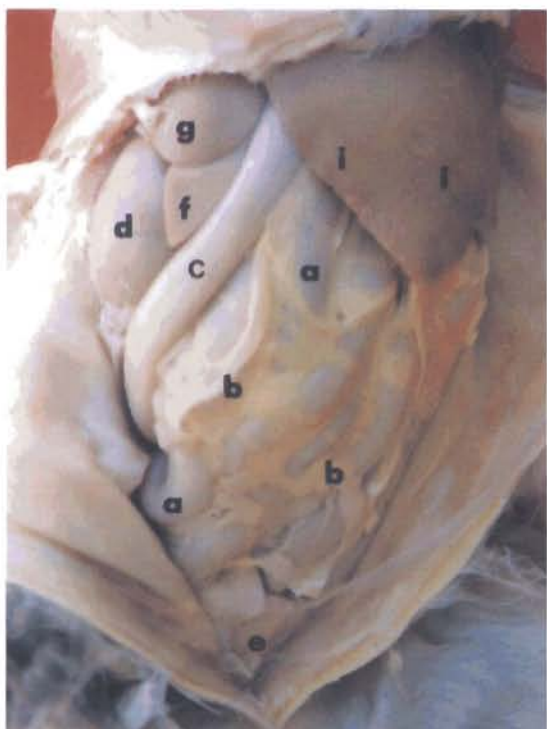
Şekil 2. Midesi maximal dolu kedi

Şekil 1, 2. Karın boşluğu organlarının ventral'den görünümü a. jejunum b. duodenum'un pars descendens'i c. vesica urinaria d. colon descendens e.lien f. corpus ventriculi g. hepar

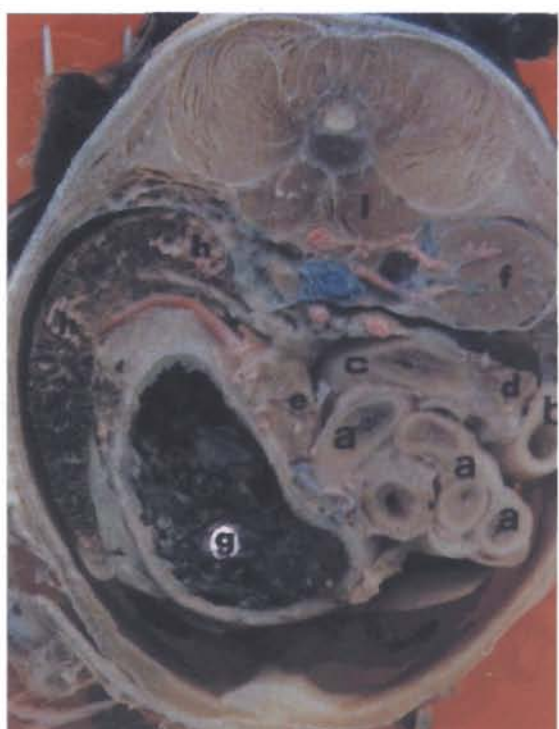


Şekil 3. Midesi orta derecede dolu kedi, soldan görünüm a. jejunum b. vesica urinaria c. colon descendens d.lien

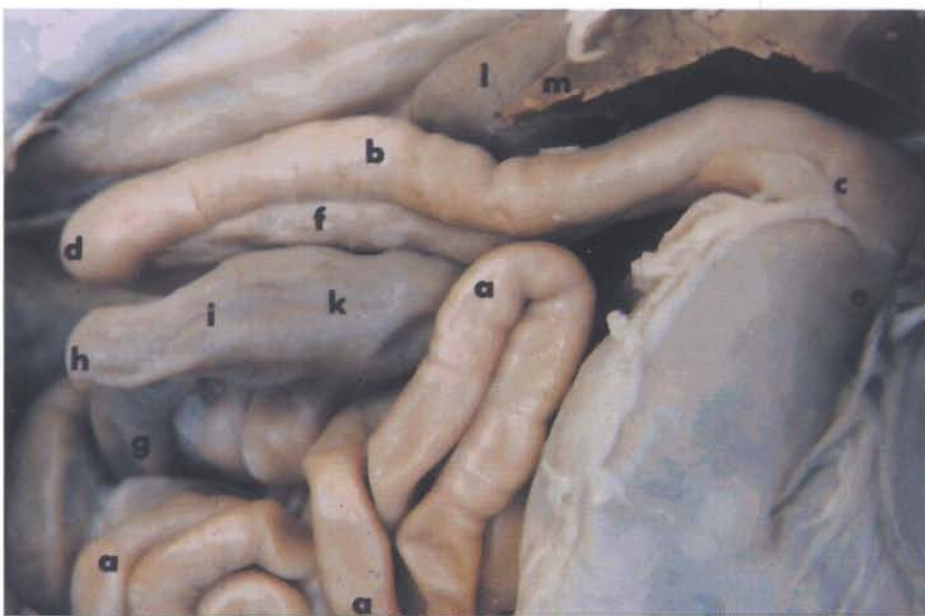
e. corpus ventriculi f. hepar g. ren sinister h. lobus pancreaticus sinister i. ovarium sinister



Şekil 4



Şekil 5

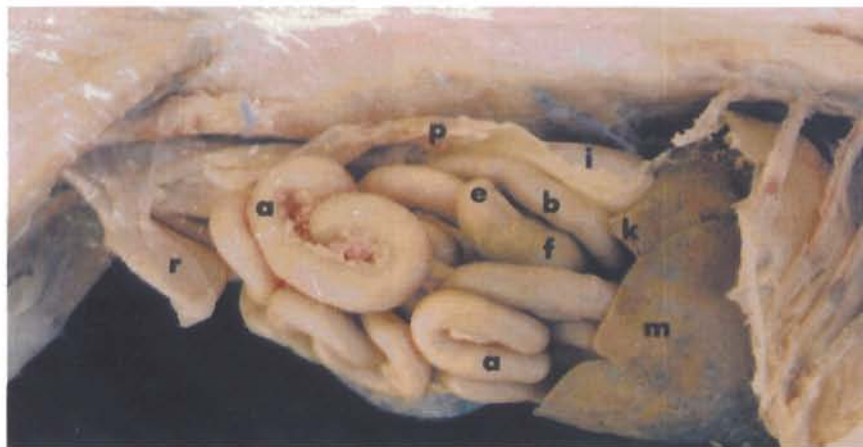


Şekil 6

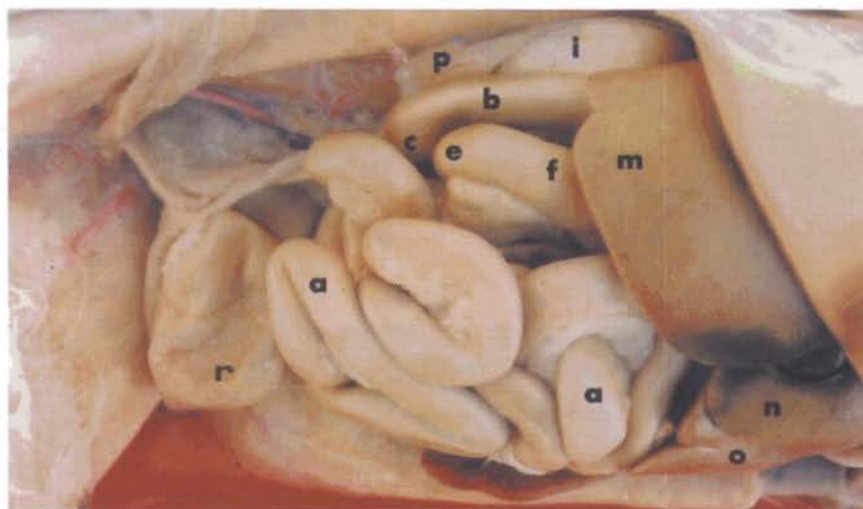
Şekil 4. Midesi boş kedi, sağ ventrolateral'den görünüm a. jejunum b. omentum majus c. duodenum'un pars descendens'i d. ren dexter e. vesica urinaria f. proc. caudatus g. lob.hep.dext.lat. i. lob.hep.dext.med.

Şekil 5. Midesi orta derecede dolu kedi, caudal'den görünüm, transversal kesit (vertebra lumbalis III-IV düzeyi) a. jejunum b. duodenum'un pars descendens'i c. pars ascendens'i d. lob.panc.dext e. lob.panc.sin. f. ren dexter g. corpus ventriculi h. lien i. hepar l. mm. psoas

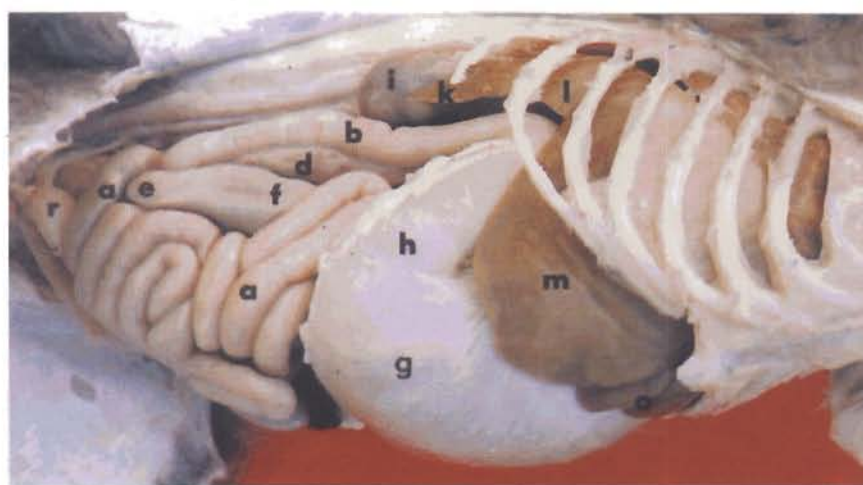
Şekil 6. Midesi maximal dolu kedi, cavum abdominis'in dorsal'i, sağdan görünüm a. jejunum b. pars descendens c. flex. duodeni cranialis d. flex. duodeni caudalis e. ampulla duodeni f. lob.panc.dext. g. ileum h. apex ceci i. basis ceci k. colon ascendens l. ren dexter m. proc. caudatus



Şekil 7. Midesi boş kedi

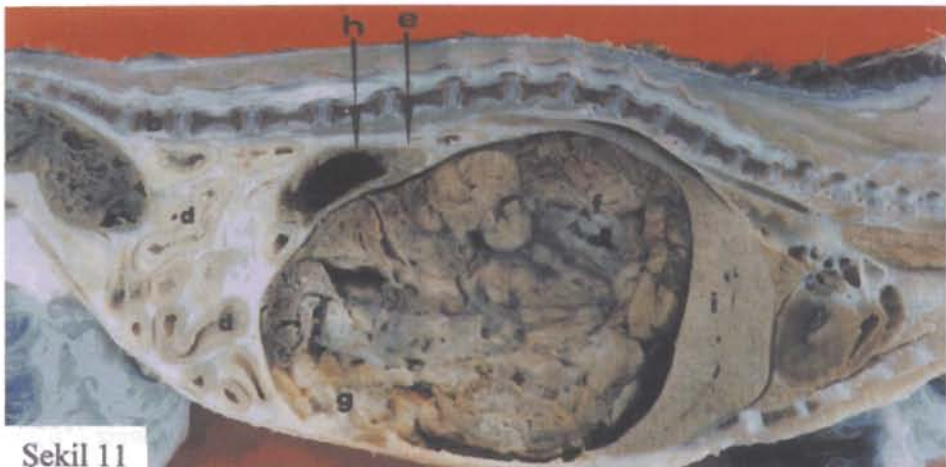


Şekil 8. Midesi orta derecede dolu kedi

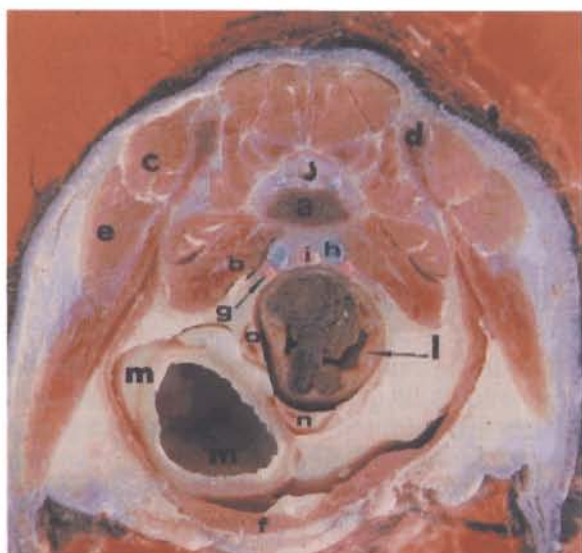


Şekil 9. Midesi maximal dolu kedi

Şekil 7,8,9. Karın boşluğu organlarının sağdan görünümü a. jejunum b. pars descendens c. pars transversa d. lob. panc. dext. e. caecum f. colon ascendens g. corpus ventriculi h. pylorus i. ren dexter k. proc. caudatus l. lob. hep. dext. lat. m. lob. hep. dext. med. n. lob. quadratus o. lob. hep. sin. lat. p. ovary dexter r. vesica urinaria



Şekil 10,11. Longitudinal kesitler, sol yarımlı **Şekil 10. Midesi boş kedi** **Şekil 11. Midesi maximal dolu kedi**
a. vertebra thoracica XIII b. vertebra lumbalis VII c. duodenum'un pars cranialis'i d. jejunum e. lobus pancreatis si-
nister f. fundus ventriculi g. sulcus ventriculi h. colon transversum i. hepar



Şekil 12. Midesi boş kedi

Şekil 13. Midesi maximal dolu kedi

Şekil 12,13. Transversal kesitler (vertebra lumbalis VII düzeyinde-caudal'den görünüm) a. vertebra lumbalis VII
b. mm. psoas c. m. iliacus d. tuber coxae e. m. tensor fasciae latae f. m. rectus femoris g. a. iliaca interna h. v. iliaca
interna i. a. sacralis mediana k. jejunum l. colon descendens m. vesica urinaria n. cornu uteri dexter o. cornu uteri
sinister

Midesi boş kedide (Şekil 1,4,7,10); jejunum'un cranial'de vertebra lumbalis II-III ile caudal'de vertebra lumbalis V düzeyinden geçen transversal düzlemler arasında bulunduğu tespit edildi. Ansa jejunalis'in oldukça yaygın olduğu, karın duvarının yaklaşık 2/3'ünü kapladığı görüldü. Cranial'de lobus hepatis sinister lateralis ve lobus hepatis dexter medialis'e, solda ve craniolateral'de lien'e komşu olduğu belirlendi. Dorsal olarak; sağda duodenum, ileum, cecum ve colon ascendens'e, cranial'de colon transversum'a, solda colon descendens'e temas ettiği belirlendi. Ventral'de, karın duvarı ile arasında omentum majus'un bulunduğu, caudal'de ise vesica urinaria ile komşuluk yaptığı saptandı.

Midesi orta derecede dolu kedide (Şekil 3,5,8); jejunum'un, cranial'de vertebra lumbalis III ile caudal'de vertebra lumbalis VI düzeyinden geçen transversal düzlemler arasında bulunduğu tespit edildi. Ansa jejunalis'in, kapladığı alan itibarıyle midesi boş kedininkine benzerlik göstermekle birlikte biraz daha sağa kaydiği görüldü. Komşuluklarının boş mideli kedi ile benzer olduğu, fakat regio abdominalis lateralis'in dorsal'inde; duodenum pars descendens'i ile arasında cecum'un yerleşmesi sonucunda pars descendens'le olan temasın kısıtladığı, caudal'de ise vesica urinaria'ya biraz daha yaslandığı gözlemlendi.

Midesi maximal dolu kedide (Şekil 2,6,9,11,13); jejunum'un, cranial'de vertebra lumbalis V ile caudal'de vertebra lumbalis VII düzeyinden geçen transversal düzlemler arasında bulunduğu tespit edildi. Ansa jejunalis'in birbirlerine daha çok yaklaşığı, karın duvarının yaklaşık 1/3'ünü kapladığı, büyük bir bölümünün median hattın sağında yer aldığı görüldü. Cranial'de corpus ventriculi ile komşuluk yaptığı, diğer komşuluklarının ise midesi orta derece dolu kedininkine benzerlik gösterdiği tespit edildi. Ayrıca diğer doluluk dercelerine nazaran (Şekil 12) vesica urinaria'yı bariz bir şekilde caudal'e ve dorsal'e ittiği belirlendi (Şekil 13).

İleum:

Ileum'un planum medianum'un sağına yerleştiği, cecum ile arasında plica ileocecalis'in bulunduğu, fakat bu yapının, çok küçük olmasından dolayı, jejunum ile ileum'un sınırını tam olarak vermediği tespit edildi. Bununla birlikte ileum'un jejunum'a göre daha düz seyretmesi, çeperinin geniş ve kalın olması ile makroskopik olarak jejunum'dan ayırt edilebileceği görüldü (Şekil 6).

Midesi boş kedide; jejunum'dan itibaren, me-

dian hattın sağında ve vücutun uzun eksene paralel olarak yaklaşık 2-2.5 cm. cranial'e seyrettiğinden sonra vertebra lumbalis IV-V düzeyinde ostium cecocolicum ile cecum ve colon'a açıldığı tespit edildi. Dorsal'de mesoduodenum'a, lateral'de apex ceci'ye, ventral ve medial'de ise jejunum'a komşu olduğu görüldü.

Midesi orta derecede dolu kedide; median hattın sağında fakat aç kediye göre biraz daha median hatta yakın ve vücutun uzun eksene oblik olarak cranial yönde seyrettiğinden sonra vertebra lumbalis V düzeyinde ostium cecocolicum ile cecum ve colon'a açıldığı, komşuluklarının ise midesi boş kedininkine benzerlik gösterdiği tespit edildi.

Midesi maximal dolu kedide; median hattın sağında olmakla birlikte midesi boş ve ortaderecede dolu kediye göre median hatta daha yakın ve vücutun uzun eksene dik olarak seyrettiğinden sonra vertebra lumbalis VI düzeyinde ostium cecocolicum ile cecum ve colon'a açıldığı, komşuluklarının ise değişmediği belirlendi.

Tartışma ve Sonuç

Sunulan çalışmada, Deniz (1966)'in bildirdiğine uygun olarak, midesi boş kedi duodenum'un VIII. intercostal aralık ile V. vertebra lumbalis'den geçen transversal düzlemler arasında yer aldığı tespit edildi. Midesi orta derecede dolu kedide; Klesty (1984)'nin bildirdiğinden farklı olarak duodenum'un; bir omur boyu caudal'e yer değiştirdiği gözlandı. Midesi maxial dolu kedide, Deniz (1966), duodenum'un cranial-caudal sınırlarının midesi orta derecede dolu kedi midesinden farklı olmadığını ve flexura duodeni caudalis'in midenin caudal sınırı ile aynı hızda olduğunu bildirmiştir. Bu araştırmada ise flexura duodeni caudalis'in midenin caudal sınırından yaklaşık 1.5 omur boyu daha caudal'de olduğu longitudinal kesitlerle ortaya konmuştur. Ayrıca mide doluluğunun tesiri ile duodenum'un, böbreğin ventral yüzüne uygun olarak kavis yaptığı belirlendi.

Kedi jejunum'un literatür (Deniz, 1966; Klesty 1984)'e uygun olarak midenin doluluğundan en fazla etkilenen organ olduğu görüldü. Adı geçen organ midenin doluluğuna paralel olarak cavum abdominalis'in caudal'ine, sağına ve dorsal'ine yöneldiği transversal ve longitudinal kesitlerle ortaya kondu.

Ileum'un midenin doluluğundan etkilenmediği bildirilmesine (Deniz, 1966) rağmen, bu çalışmada, adı geçen organın midesi boş kedide vertebra lumbalis IV-V düzeyinde, midesi orta derecede dolu ke-

dide vertebra lumbalis V düzeyinde, midesi maximal dolu kedide vertebra lumbalis VI düzeyinde caecum'a açıldığı tespit edildi.

Kedide midenin her türlü doluluğunda duodenum ile ileum'un cavum abdominis'in sağ ve dorsal yarımında, jejunum'un ise midenin doluluğundan etkilenecek caudal ve sağ yarıma yerleştigi tespit edildi. Bu topografik bilgilerin de klinikte ve bilgisayarlı tomografide oldukça gerekli olduğu düşünülmektedir.

Kaynaklar

- Boyd, J. S. (1991). "Color Atlas of Clinical Anatomy of the Dog Cat". Mosby - Wolfe, London.
- Breiling, F. (1994). "Vergleichende Makroskopisch-Fotografische Transversale Schnitta Transvesale Schnittanatomie der Abdominalen Organe von Hund und Katze". Diss. Anatomischen Institut der Tierärztlichen Hochschule Hannover.
- Bohensky, F. (1979). "Fotomanuel and Dissection Guide of the Cat". Avery Publishing Group Inc., Garden City Park, New York.
- Chiasson, R. B. (1982). "Laboratory Anatomy of the Cat". Seventh Edition, Wm. C. Brown Com. Publishers, Dubuque, Iowa.
- Chiasson, R. B. and Radke, W. J. (1996) "Laboratory Anatomy of the Cat". WCB, Mc Graw – Hill Com. Dubuque, Iowa.
- Crouch, J. (1969). "Text - Atlas of Cat Anatomy". Lea & Febiger, Philadelphia.
- Deniz, E. (1966). Kedide Midenin Çeşitli Doluluk De-recesinin Karın Organlarının Topografisi ve Şekilleri Üzerine Etkisi. Doçentlik Tezi. Ankara Üniversitesi Veteriner Fakültesi Anatomi Kürsüsü.
- Done, S. H., Goody, P. C., Evans, S. A. and Stickland, N. C. (1996). "Color Atlas of Veterinary Anatomy, The Dog & Cat". Volume III, Mosby – Wolfe, London.
- Donnersberger, A.B. and Lesak, A.G. (1998). "A Laboratory Textbook of Anatomy & Physiology". Sixth Edition, Jones and Bartlett Publishers, London.
- Feeney, D.A., Fletcher, T.F. and Hardy, R.M. (1991). "Atlas of Correlative Imaging Anatomy of the Normal Dog - Ultrasound and Computed Tomography". W.B. Saunders Co., London.
- Field, H.E. and Taylor, M.E. (1969). "An atlas of Cat Anatomy". Second Edition, The University of Chicago Press, Chicago.
- Fike, J.R., Druy, E.M., Zook, B.C., Davis, D.O., Thompson, J.E., Chaney, E. and Bradley, E. (1980) Canine Anatomy as Assessed by Computerized Tomography. Am. J. Vet., 41, 1823-1832.
- Güzel, N. ve Yavru, N. (1997). "Veteriner Genel Rad-yoloji". S. Ü. Vet. Fak.Yay.Ün., Konya.
- Hillen, B. (1984). Computerized Tomography in Anatomy. 15. Kongress der Europaeischen Vereinigung der Veterinaeranatomen, 26. bis 30. August, Utrecht.
- International Committee on Veterinary Gross Anatomical Nomenclature (1994). "Nomina Anatomica Veterinaria". Fourth Edition, Ithaca, New York.
- Klesty, C. (1984). "Lage und Lageveränderungen der Bauchhöhlenorgane der Katze bei Verschiedenen Körperstellungen im Hinblick auf die Klinische Untersuchung". Diss. Justus-Liebig-Universität Giessen, Institut für Veterinär-Anatomie, Hist. und Embry.
- Leach, W. J. (1961). "Functional Anatomy mammalian and Comparative". Third Ed., McGraw-Hill Book Company, London.
- Mc. Clure, R.C., Dallman, M.J. and Garrett, P.D. (1973). The Abdominal Region in "Cat anatomy and Atlas, Text and Dissection Guide". Verleg Lea and Febiger, Philadelphia.
- Nickel, R., Schummer, A. and Seiferle, E. (1979). "The Viscera of the Domestic Mammals". Second Rewived Edition, Vol. II, Verlag Paul Parey, Hamburg.
- Popesko, P. (1986). Internal organs in "Atlas of Topographical Anatomy of the Domestic Animals". Fifth Edition, Vol. II., p. 186-187., W.B. Saunders Company, Philadelphia.
- Schebitz, H. und Wilkens, H. (1977). "Atlas of Radiographic Anatomy of the Dog and Cat". Third Rev. Edition., Verlag Paul Parey, Hamburg.
- Smallwood, J. E. (1993). Digestive System in "Atlas of Feline Anatomy for Veterinarians". Ed. Hudson, L. C., W.B Saunders Company, Mexico.
- Vollmerhaus, B. (1994). Harnapparat in "Anatomie von Hund und Katze" Herausgegeben von Frewein, J. und Vollmerhaus, B., Blackwell-MZV,Wien.
- Wilkens, H. (1951). Mesogastrium Dorsale der Katze. Diss. Anatomischen Institut der Tierärztlichen Hochschule Hannover.